



سنجش از دور و GIS ایران



سال اول، شماره اول، بهار ۱۳۸۸
Vol.1, No.1, Spring 2009

سنجش از دور و GIS ایران
Iranian Remote Sensing & GIS

۵۷-۷۲

تعیین تغییرات مکانی و زمانی آلودگی‌های منواکسید کربن و ذرات معلق، با استفاده از تکنیک‌های GIS در شهر تهران

علی‌اکبر متکان^۱، علیرضا شکیبا^۲، سیدحسین پورعلی^۳، ایمان بهارلو^{۴*}

۱- دانشیار گروه سنجش از دور و GIS، دانشگاه شهید بهشتی تهران

۲- استادیار گروه سنجش از دور و GIS، دانشگاه شهید بهشتی تهران

۳- مرتبی گروه سنجش از دور و GIS، دانشگاه شهید بهشتی تهران

تاریخ پذیرش مقاله: ۸۸/۹/۲

تاریخ دریافت مقاله: ۸۸/۵/۱۳

چکیده

یکی از معضلات اساسی شهرهای بزرگ جهان پدیده آلودگی هواست. کشور ایران و به خصوص تهران نیز از اثر این پدیده مصون نیست، به طوری که سالانه خسارات مالی و جانی و اجتماعی عمده‌ای متأثر از آلودگی به بار می‌آیند.

از آنجا که مهم‌ترین آلاینده‌های این شهر مونواکسید کربن (CO) و ذرات معلق با قطر کوچکتر از ۱۰ میکرومتر (PM_{10})‌اند، در تحقیق حاضر ابتدا روش‌های مختلف درون‌یابی برای تولید نقشه‌های کیفیت هوای حاصل از این دو آلاینده مورد ارزیابی قرار گرفتند و سپس با استفاده از آماره خطای میانگین مربعات (MSE) روش درون‌یابی بهینه انتخاب شد و نقشه‌های کیفیت هوای حاصل از این دو آلاینده برای همه روزهای سال ۱۳۸۴ تولید گردید. نیز از آنجا که آلودگی‌ها با عوامل متعددی از قبیل توپوگرافی، اقلیم، جمعیت، شبکه حمل و نقل و صنعت ارتباط دارد، با استفاده از روش رگرسیون کاربری اراضی (LUR) مهم‌ترین عوامل مؤثر در تولید هر یک از این دو آلاینده تعیین گردید و در ادامه با استفاده از همین روش به مدل‌سازی این دو آلاینده در فصل بهار پرداخته شد.

با توجه به آماره خطای میانگین مربعات (MES) معلوم شد که برای درون‌یابی داده‌های آلاینده مونواکسید کربن، روش کوکریجینگ همراه با سه پارامتر دما، جهت باد و سرعت باد که ناهمسان‌گردی آن به سیله جهت باد تعیین شود، مناسب‌ترین روش به شمار می‌آید؛ در حالی که برای آلاینده ذرات معلق روش Spline نتایج بهتری را ارائه می‌دهد. همچنین نتایج حاصل از مدل رگرسیون کاربری اراضی (LUR) نشان داد که مهم‌ترین عامل مؤثر بر روی آلاینده مونواکسید کربن حجم ترافیک است، در حالی که مهم‌ترین عامل مؤثر بر روی آلاینده PM_{10} وجود اماکن صنعتی است.

کلیدواژه‌ها: آلودگی‌ها، درون‌یابی، رگرسیون کاربری اراضی (LUR).

* نویسنده مکاتبه‌کننده: تهران، اوین، دانشگاه شهید بهشتی، گروه سنجش از دور و GIS؛ تلفن: ۰۹۱۳۲۶۹۰۱۱۴

Email: i.baharloo@mail.sbu.ac.ir

۱- مقدمه

کاربری اراضی (LUR) برای برآورد توزیع آلودگی هوای حاصل از دو آلاینده مونواکسید کربن و ذرات معلق در شهر تهران استفاده شد و در واقع با استفاده از روش درون‌یابی تغییرات زمانی و مکانی آلودگی هوا برای کلیه روزهای سال ۱۳۸۴ مورد بررسی قرار می‌گرفت. سپس با استفاده از روش رگرسیون کاربری اراضی (LUR) تأثیر هر یک از عوامل کاربری اراضی، حجم ترافیک، جمعیت و جز اینها در ایجاد این دو آلاینده بررسی گردید و در نهایت به مدل‌سازی این دو آلاینده در فصل بهار پرداخته شد.

۲- متغیرهای مورد استفاده در روش رگرسیون کاربری اراضی (LUR)

روش LUR ترکیبی از سامانه اطلاعات مکانی با روش‌های رگرسیونی چندمتغیره است، به طوری که ابتدا مقدار آلاینده مورد نظر در یک مکان تعیین می‌شود، و سپس در بافرهای متفاوتی میزان هر یک از متغیرهای حجم ترافیک، کاربری اراضی، جمعیت و مانند اینها در اطراف نقاط نمونه‌برداری شده اندازه‌گیری می‌شود. در نهایت، با استفاده از روش‌های رگرسیونی چندمتغیره و روش‌های قدم به قدم^۱، ورود رو به جلو^۲ و حذف رو به عقب^۳، ارتباط بین آلاینده موردنظر به عنوان متغیر وابسته و سایر متغیرها به عنوان متغیر مستقل استخراج می‌گردد. در این تحقیق نمونه‌های انتخاب شده مقدار آلودگی حاصل از آلاینده‌های مونواکسید کربن و ذرات معلق برای هر یک از ایستگاه‌های سنجش آلودگی هواست. به دلیل اینکه هر ایستگاه سنجش آلودگی باید نماینده ۱۰۰۰ متر اطراف خود باشد، پس تمامی بافرها ۵۰۰ متر در نظر گرفته شدند و چون جمعیت جزو عوامل متحرک است، در بافر ۱۰۰۰ متر در نظر گرفته شده است.

-
1. Stepwise
 2. Forward
 3. Backward

رشد سریع فناوری باعث افزایش بی‌رویه آلودگی هوا در اکثر کشورهای جهان شده است. از آنجا که آلودگی هوا تأثیر مستقیمی بر روی سلامت انسان‌ها و جانوران و گیاهان می‌گذارد، در نتیجه باعث توجه بیشتر مدیران و محققان و افراد مرتبط با آلودگی به این معضل شده است.

مطالعات اخیر نقش مهم و اساسی تغییرات درون شهری را بر روی آلودگی هوا نشان داده‌اند، به طوری که تمامی این تحقیقات به نتایج مشابهی در مورد تأثیرات تغییرات زمانی، مکانی و درون‌شهری بر روی آلودگی جو اشاره کرده‌اند (Jerrett et al., 2005; Miller et al., 2007).

امروزه روش‌های مختلفی برای تخمین آلودگی هوا وجود دارد. یکی از این روش‌ها تلفیق اطلاعات ایستگاه‌های سنجش آلودگی و روش‌های درون‌یابی است. با استفاده از این روش تلفیقی می‌توان تغییرات زمانی آلودگی هوا را در هر زمان نشان داد، اما قدرت تفکیک مکانی این روش تلفیقی به دلیل محدود بودن تعداد ایستگاه‌ها کم است (Basu et al., 2004).

روش دیگر برای تخمین آلودگی هوا استفاده از روش رگرسیون کاربری اراضی (LUR) است. این روش قدرت تفکیکی مکانی بالایی دارد، اما نقطه ضعف این روش در پایین بودن قدرت تفکیک زمانی آن است. همچنین با استفاده از این روش می‌توان تأثیر عوامل مختلفی همچون کاربری اراضی، ترافیک، جمعیت و نظایر اینها را بر آلودگی، مورد ارزیابی قرار داد (Brauer et al., 2003; Cyrys et al., 2005; Henderson et al., 2007; Moore et al., 2007).

روش دیگر برای تخمین آلودگی هوا روش پخشی است که قدرت تفکیک زمانی بالا و قدرت تفکیک مکانی متوسط دارد؛ ولی این روش نیازمند پارامترها و مؤلفه‌های ورودی زیاد و کارشناسان خبره است (Jerrett et al., 2005; Knowlton et al., 2004). در این تحقیق از دو روش درون‌یابی و رگرسیون

جدول ۱. متغیرهای مورد استفاده در مدل LUR

متغیر	زیرمجموعه	اندازه گیری	واحد اندازه بافر	منبع داده
کاربری اراضی	مسکونی	Km ²	۵۰۰	مرکز سامانه اطلاعات جغرافیایی تهران
	صنعتی	Km ²	۵۰۰	مرکز سامانه اطلاعات جغرافیایی تهران
	اداری - تجاری	Km ²	۵۰۰	مرکز سامانه اطلاعات جغرافیایی تهران
	نظمی	Km ²	۵۰۰	مرکز سامانه اطلاعات جغرافیایی تهران
	فضای سبز	Km ²	۵۰۰	مرکز سامانه اطلاعات جغرافیایی تهران
	حمل و نقل	Km ²	۵۰۰	مرکز سامانه اطلاعات جغرافیایی تهران
حجم ترافیک	ترافیک	حجم هم‌سنگ سواری	۵۰۰	سازمان مطالعات جامع حمل و نقل و ترافیک
ارتفاع	ارتفاع	مدل ارتفاع رقومی	متر	(۱)
جمعیت	جمعیت	تعداد نفردر هر Km ²	۱۰۰۰	مرکز سامانه اطلاعات جغرافیایی تهران
راه	راه اصلی	متر	(۲)	مرکز سامانه اطلاعات جغرافیایی تهران
راه فرعی	راه فرعی	متر	(۲)	مرکز سامانه اطلاعات جغرافیایی تهران

در این جدول، منظور از (۱) ارتفاع محل نصب ایستگاه‌ها از سطح دریاست؛ و منظور از (۲) فاصله ایستگاه سنجش آلودگی تا نزدیک‌ترین نوع راه است.

۳- روش کار

CO باید از میانگین ۸ ساعته و برای PM₁₀ از میانگین ۲۴ ساعته استفاده شود. برای CO هر روز ۳ نوبت ۸ ساعته از ۱۲ شب تا ۸ صبح فردا به عنوان نوبت اول، از ۸ صبح تا ۱۶ بعد از ظهر به عنوان نوبت دوم و از ۱۶ تا ۲۴ به عنوان نوبت سوم در نظر گرفته شد. در نتیجه، برای تمامی ۱۱ ایستگاه میانگین هر ۸ ساعت آنها برای تمامی روزهای سال ۱۳۸۴ محسوبه گردید. برای آلینده PM₁₀ میانگین ۲۴ ساعته برای تمامی ایستگاه‌ها در تمام روزهای سال ۱۳۸۴ محسوبه شد. قبل از تولید نقشه‌های آلودگی، ابتدا باید بهترین روش درون‌یابی برای هر یک از دو آلینده تعیین شود. چون مقدار این دو آلینده برای هر یک از روزهای سال متفاوت است. به طور مثال در فصل بهار به دلیل کم بودن مقادیر این دو آلینده دامنه تغییرات برای هر یک

در سال ۱۳۸۴ در مجموع ۱۱ ایستگاه سنجش آلودگی هوا وجود داشته که از میان آنها ۷ ایستگاه زیرنظر سازمان محیط زیست بوده است و ۴ ایستگاه زیر نظر شرکت کنترل کیفیت هوا. ایستگاه‌های زیر نظر سازمان محیط زیست شامل ایستگاه‌های آزادی، بهمن، قلهک، سرخه حصار، پرديسان، تجریش و ویلاست؛ و ایستگاه‌های زیرنظر شرکت کنترل کیفیت هوا شامل اقدسیه، فاطمی، بازار و مهرآباد و دو ایستگاه هواسناسی دیگر، یعنی رسالت و تهرانسر. تمامی این ایستگاه‌ها مقدار آلودگی هر یک از آلینده‌های اصلی را ساعت به ساعت اندازه گیری می‌کنند.

برای طبقه‌بندی نقشه‌ها از شاخص کیفیت هوا (AQI) استفاده می‌شود. درواقع این شاخص، کیفیت هوا را به گونه‌ای که برای همگان درکشدنی باشد، طبقه‌بندی می‌کند. برطبق این شاخص برای محاسبه

نهایت، با استفاده از همین روش این دو آلاینده در فصل بهار مدل‌سازی گردیدند.

۱-۳- آماره اسپیرمن^۲

چون در این تحقیق روش کوکریجینگ نیز مورد استفاده قرار گرفت، لذا پارامترهای هواشناسی دما، جهت باد و سرعت باد به عنوان پارامترهای کمکی استفاده شدند. اطلاعات دما، جهت باد، سرعت باد ساعت به ساعت برداشت شده‌اند، و این خود مشکل همزمانی داده‌ها را برای استفاده در روش کوکریجینگ برطرف می‌کند. اولین کار برای استفاده از روش کوکریجینگ بررسی همبستگی بین متغیرهای کمکی با دو آلاینده CO_{10} است. برای بررسی همبستگی بین متغیرها روش‌های مختلفی مانند همبستگی پیرسن، اسپیرمن و کندال از جمله مهم‌ترین روش‌ها به شمار می‌آیند. در این تحقیق به دو دلیل از همبستگی اسپیرمن استفاده شد که این دو دلیل عبارت‌اند از:

۱. همبستگی پیرسن روشی پارامتریک است که در آن باید داده‌ها از توزیع نرمال یا توزیعی نزدیک به نرمال پیروی کنند. همچنین این همبستگی تنها رابطه خطی بین متغیرها را نشان می‌دهد. این در حالی است که همبستگی اسپیرمن روشی ناپارامتریک است و مستقل از توزیع متغیرهاست. از آنجا که توزیع داده‌ها را نمی‌دانیم، و نوع ارتباط بین متغیرهای اصلی و کمکی مشخص نیست، در نتیجه آماره اسپیرمن برای بررسی همبستگی مطمئن‌تر می‌نماید.

۲. چون یکی از پارامترهای کمکی جهت باد است، و متغیری رتبه‌ای است، در نتیجه دیگر برای بررسی همبستگی این متغیر نمی‌توان از آماره پیرسن استفاده کرد. در نتیجه برای بررسی همبستگی این متغیر باید آماره اسپیرمن مورد استفاده قرار گیرد.

1. Mean Square Error

2. Spearman

از این دو آلاینده کم است)، در نتیجه باعث کم شدن خطای شود؛ و در فصل تابستان و پاییز چون دامنه تغییرات فزوئی می‌گیرد، در نتیجه مقدار خطای دقیق که بتواند برآورده‌گری نااریب برای خطای داده‌های یک سال باشد، به صورت زیر عمل شده است:

برای هر یک از آلاینده‌ها ابتدا ۳ روز از هر ماه انتخاب شد؛ و در نتیجه به صورت کاملاً تصادفی ۳۶ روز از کل سال انتخاب گردید. با استفاده از کلیه روش‌های درون‌یابی -که شامل ۳۶ روش متفاوت بود - تمامی نقشه‌های آلودگی برای این ۳۶ روز تهیه گردید. در نتیجه بدین ترتیب هر یک از روش‌های درون‌یابی که کمترین مقدار خطای نشان دهد، به عنوان روش اصلی برای تعیین نقشه‌های آلودگی مورد استفاده قرار گرفت. همچنین در هنگام استفاده از روش کوکریجینگ، علاوه بر اینکه از اطلاعات آلودگی ۱۱ ایستگاه استفاده شد، اطلاعات دو ایستگاه هواشناسی تهرانسر و رسالت نیز مورد استفاده قرار گرفت. بعد از انتخاب بهترین روش درون‌یابی به کمک آماره خطای میانگین مربعات^۱ (MSE) نقشه‌های روزانه به وسیله روش بهینه تولید شد. برای تولید نقشه‌های روزانه CO براساس AQI ابتدا با استفاده از میانگین ۸ ساعته هر یک از ایستگاه‌ها یک نقشه آلودگی هوا با بهره‌گیری از روش درون‌یابی بهینه تولید شده و سپس با استفاده از نقشه‌های ۸ ساعته نقشه آلودگی روزانه که میانگین ۳ نقشه ۸ ساعته است تولید گردید. نقشه آلودگی ماهانه نیز از میانگین نقشه‌های روزانه به دست آمد. برای تولید نقشه‌های آلاینده PM_{10} از میانگین ۲۴ ساعته اطلاعات هر یک از ایستگاه‌ها استفاده شد. بعد از تولید نقشه‌های روزانه، تمامی نقشه‌ها برای هر دو آلاینده با استفاده از AQI طبقه‌بندی شدند.

بعد از تعیین نقشه‌های آلودگی، با استفاده از روش رگرسیون کاربری اراضی (LUR) به بررسی تأثیر عواملی از قبیل حجم ترافیک، کاربری اراضی، جمعیت و نظایر اینها بر روی این دو آلاینده پرداخته شد. در

۴- نتایج

۴-۱- نتایج همبستگی اسپیرمن

جدول ۴ نتایج استفاده از همبستگی اسپیرمن را نشان می‌دهد.

با توجه به مقدار P_Value در جدول ۴، چون مقدار این آماره برای آلینده CO کوچک‌تر از ۰/۰۵ است، در نتیجه بین سه پارامتر کمکی دما، جهت باد و سرعت باد با CO همبستگی وجود دارد. همچنین با توجه به مقدار P_Value در جدول ۴ چون مقدار این آماره برای همبستگی بین دما و جهت باد با آلینده PM₁₀ بزرگ‌تر از ۰/۰۵ است، در نتیجه بین آلینده PM₁₀ با دما و جهت باد همبستگی وجود ندارد؛ ولی بین سرعت باد و PM₁₀ در سطح ۰/۰۵ همبستگی وجود دارد.

۲-۳- شاخص کیفیت هوای (AQI)

شاخص کیفیت هوای (AQI) استانداردی است که برای گزارش روزانه کیفیت هوای به کار می‌رود و برای بیان آلودگی هوای از مقدار پنج آلاینده منواکسید کربن، ازن، دی‌اسکسید نیتروژن، دی‌اسکسید گوگرد و ذرات معلق استفاده می‌کند. با توجه به غلظت آلاینده‌ها و استانداردهای بهداشتی این شاخص غلظت آلاینده‌ها را به مقیاسی عددی بین ۰ تا ۵۰۰ مطابق با جدول ۲ تبدیل می‌کند. شاخص کیفیت هوای (AQI) از این نظر که غلظت آلاینده‌ها را براساس مقیاس واحدی می‌سنجد، مورد توجه است.

۱) در جدول ۲ چنانچه میزان غلظت ازن ۸ ساعته از ۰/۳۷۴ بیشتر شود، باید ازن ۱ ساعته مورد استفاده قرار گیرد.

۲) در جدول ۲ برای مقادیر خالی ستون مربوط به عبارت هشدار درج نشده و فقط برای NO₂ بیشتر از ۲۰۰ درج گشته است.

جدول ۲. طبقه‌بندی کیفیت هوای براساس شاخص AQI

O ₃ 1hr (ppm)	O ₃ 8hr (ppm)	PM ₁₀ 24hr (µg/m ³)	PM _{2.5} 24hr (µg/m ³)	SO ₂ 24hr (ppm)	NO ₂ (ppm)	CO 8hr (ppm)	AQI
-	۰/۰۰۰-۰/۸۴	۰-۵۴	۰-۱۵/۴	۰/۰۰۰-۰/۰۳۴	(۲)	۰-۴/۴	۰-۵۰
-	۰/۰۶۵-۰/۸۴	۵۵-۱۵۴	۱۵/۵-۴۰/۴	۰/۳۵-۰/۱۴۴	(۲)	۴/۵-۹/۴	۵۰-۱۰۰
۰/۱۲۵-۰/۱۶۴	۰/۰۸۵-۰/۱۰۴	۱۵۵-۲۵۴	۴۰/۵-۶۵/۴	۰/۱۴۵-۰/۲۲۴	(۲)	۹/۵-۱۲/۵	۱۰۰-۱۵۰
۰/۱۶۵-۰/۲۰۴	۰/۱۰۵-۰/۱۲۴	۲۵۵-۳۵۴	۶۵/۵-۱۵۰/۴	۰/۲۲۵-۰/۳۰۴	(۲)	۱۲/۵-۱۵/۴	۱۵۰-۲۰۰
۰/۲۰۵-۰/۴۰۴	۰/۱۲۵-۰/۳۷۴	۳۵۵-۴۲۴	۱۵۰/۵-۲۵۰/۴	۰/۳۰۵-۰/۶۰۴	۰/۶۵-۱/۲۴	۱۵/۵-۳۰/۴	۲۰۰-۳۰۰
۰/۴۰۵	(۱)	۴۲۵	۴۲۵	۰/۶۰۵ به بالاتر	۰/۲۵ به بالاتر	۳۰/۵ به بالا	۳۰۰-۵۰۰

جدول ۳. طبقه‌بندی شاخص AQI برای بیان وضعیت هوای

رنگ	وضعیت هوای	AQI
سبز	پاک	۰-۵۰
زرد	سالم	۵۰-۱۰۰
نارنجی	ناسالم برای گروههای حساس	۵۰-۱۵۰
قرمز	ناسالم	۱۵۰-۲۰۰
ارغوانی	بسیار ناسالم	۲۰۰-۳۰۰
سیاه	خطرناک	بزرگ‌تر از ۳۰۰

۱-۲-۴- نتایج روش وزن‌دهی عکس فاصله^۱ (IDW)

با توجه به جدول ۵ مشاهده می‌شود که کمترین مقدار آماره MSE، برای آلاینده CO موقعي است که توان در روش وزن‌دهی عکس فاصله (IDW) برابر يك، و برای آلاینده PM₁₀ موقعي است که توان در روش IDW بيشتر از دو باشد. در كلیه روش‌های به کار گرفته شده برای تعیين جهت ناهمسان‌گردی از جهت باد استفاده شد.

۲-۴- نتایج مقایسه روش‌های مختلف درون‌یابی

در این قسمت نتایج حاصل از مقایسه روش‌های مختلف درون‌یابی برای انتخاب روش درون‌یابی بهینه نشان داده می‌شود. به دليل اينكه تنها پaramتر کمکي سرعت باد با آلاینده PM₁₀ همبستگي دارد، در نتيجه از انجام روش درون‌یابي کوکريجینگ برای اين متغير صرف‌نظر گرديد. در اين تحقيق برای انتخاب بهترین روش درون‌یابي از آماره MSE استفاده شد. مقدار اين آماره برای هر روش درون‌یابي که كمتر باشد، نشان‌دهنده بهتر بودن آن روش است.

جدول ۴. نتایج همبستگی اسپیرمن

جهت باد	سرعت باد	دما	
-۰/۲۵۶	-۰/۰۹۱	۰/۱۶۵	CO
۰/۰۰۰	۰/۰۰۰	۰/۰۰۰	P_Value
-۰/۰۰۸	-۰/۱۲	۰/۰۰۲	PM ₁₀
۰/۱۳۱	۰/۰۰۰	۰/۷۳۱	P_Value

جدول ۵. نتایج روش IDW

MSE	تعداد نقاط همسایگی	حالت	توان در روش IDW	نوع آلاینده	MSE	تعداد نقاط همسایگی	حالت	توان در روش IDW	نوع آلاینده
۱۹/۲	۱۰	همسان‌گرد	۱		۱/۸۲۱	۱۱	همسان‌گرد	۱	
۱۹/۳۵	۶	ناهمسان‌گرد			۱/۸۷۳	۶	ناهمسان‌گرد		
۱۸/۹	۱۰	همسان‌گرد	۲		۱/۸۵۲	۱۱	همسان‌گرد	۲	
۱۸/۷	۶	ناهمسان‌گرد			۱/۹۰۱	۶	ناهمسان‌گرد		CO
۱۸	۱۰	همسان‌گرد			۱/۸۱	۱۱	همسان‌گرد		
۱۸/۵۷	۶	ناهمسان‌گرد	دو	بیشتر از دو	۱/۹۸۲	۶	ناهمسان‌گرد	دو	

جدول ۶. نتایج روش Global Polynomial

MSE	توان در روش Global	نوع آلاینده	MSE	توان در روش Global	نوع آلاینده
۲۱/۰۲	۱		۲/۵۲	۱	
۴۳	۲		۶/۳۵	۲	
۸۰	بیشتر از دو		بزرگ‌تر از دو	۵۰	CO

1. Inverse Distance Weighted

روش برای آلاینده PM_{10} صرفنظر گردید.

۳-۲-۴- نتایج روش Spline

با توجه به جدول ۸، مشاهده می‌شود که کمترین مقدار آماره MSE، برای آلاینده CO متعلق به روش Spline With Inverse Multiquadric و سپس روش Spline With Tension است. برای آلاینده PM_{10} کمترین مقدار آماره MSE و Inverse Multiquadric متعلق به روش Spline Completely Regularized Splines است. سپس روش Thin Plate Spline بیشترین مقدار MSE، برای هر دو آلاینده متعلق به روش Thin Plate Spline است.

۲-۲-۴- نتایج روش Global Polynomial (چندجمله‌ای جهانی) و Local Polynomial (چندجمله‌ای محلی)

با توجه به جدول ۶، مشاهده می‌شود که کمترین مقدار آماره MSE برای آلاینده CO و PM_{10} موقعی است که توان در روش Global Polynomial برابر یک باشد. با توجه به جدول ۷، مشاهده می‌شود که کمترین مقدار آماره MSE برای آلاینده CO و PM_{10} موقعی است که توان در روش Local Polynomial برابر یک باشد. توجه شود که در روش Global برای آلاینده PM_{10} زیاد است. در نتیجه از آوردن نتایج این مقدار MSE زیاد است.

جدول ۷. نتایج Local Polynomial

MSE	تعداد نقاط همسایگی	حالت	توان در روش LOCAL	نوع آلاینده	MSE	تعداد نقاط همسایگی	حالت	توان در روش LOCAL	نوع آلاینده	
۲۰/۵۶	۱۰	همسان‌گرد	PM ₁₀	۱	۱/۹۹	۱۱	همسان‌گرد	۱	CO	
۲۰/۳	۶	ناهمسان‌گرد			۱/۸۰۳	۶	ناهمسان‌گرد			
۲۷/۹۳	۱۰	همسان‌گرد		۲	۵/۸۹۱	۱۱	همسان‌گرد			
۲۴	۶	ناهمسان‌گرد			۶/۲	۶	ناهمسان‌گرد			
بزرگ‌تر	۱۰	همسان‌گرد		بیشتر از دو	بزرگ‌تر	۱۱	همسان‌گرد	بیشتر از دو		
از ۵۰	۶	ناهمسان‌گرد		دو	از ۱۰	۶	ناهمسان‌گرد			

جدول ۸. نتایج روش Spline

MSE	تعداد نقاط همسایگی	پارامتر r	نوع روش	نوع آلاینده
۱/۹۹۳	۱۱	۰/۰۳۷	Completely Regularized Spline	
۱/۹۷۲	۱۱	۰/۰۰۷	Spline With Tension	
۲/۰۸۸	۱۱	۱۰۵۰	Multiquadric	CO
۱/۸۹۱	۱۱	۳۲۰۱	Inverse Multiquadric	
۲/۵۱	۱۱	۶/۳۰ E+19	Thin Plate Spline	
۱۶/۹	۱۱	۰/۰۰۲۹۱	Completely Regularized Spline	
۱۷/۲۳	۱۱	۰/۰۰۳۰۶	Spline With Tension	
۱۷/۶	۱۱	۱۴۳۸	Multiquadric	PM ₁₀
۱۷/۸	۱۱	۲۵۱۰	Inverse Multiquadric	
۱۶/۸۳	۱۱	E+۲۰	Thin Plate Spline	

علی‌اکبر متکان و همکاران

جدول ۹. نتایج روش کریجینگ

MSE	حالت	نوع سمی واریوگرام	روش درون‌یابی	آلینده	MSE	حالت	نوع سمی واریوگرام	روش درون‌یابی	آلینده
۱/۷۸۹	همسان‌گرد			دایره‌ای	۱/۷۸۸	همسان‌گرد		دایره‌ای	
۱/۷۹	ناهمسان‌گرد				۱/۷۶۷	ناهمسان‌گرد			
۱/۷۴۸	همسان‌گرد			کروی	۱/۷۶۳	همسان‌گرد		کروی	
۱/۷۴۶	ناهمسان‌گرد				۱/۷۳۳	ناهمسان‌گرد			کریجینگ
۱/۷۸۵	همسان‌گرد			نمایی	۱/۷۴۶	همسان‌گرد		نمایی	CO
۱/۷۸۳	ناهمسان‌گرد				۱/۷۱۷	ناهمسان‌گرد			
۱/۸۱۲	همسان‌گرد			گوسی	۱/۷۶۲	همسان‌گرد		گوسی	
۱/۸۰۱	ناهمسان‌گرد				۱/۷۶۱	ناهمسان‌گرد			

۴-۲-۴- نتایج روش کوکریجینگ

با توجه به مقدار آماره MSE به دست آمده برای داده‌های آلینده CO، می‌توان دریافت که روش کوکریجینگ با یک سمی‌واریوگرام نمایی که ناهمسان‌گردی آن به وسیله جهت باد تعیین شود، بهترین روش برای درون‌یابی داده‌های آلینده CO موجود در هواست. با توجه به مقدار آماره MSE به دست آمده برای داده‌های آلینده PM₁₀، می‌توان دریافت که روش Spline بهترین روش برای درون‌یابی داده‌های آلینده PM₁₀ موجود در هوا به شمار می‌آید.

۴-۲-۴- نتایج روش کریجینگ

با توجه به جدول ۹ مشاهده می‌شود که کمترین مقدار آماره MSE، برای آلینده CO به ترتیب مربوط به سمی‌واریوگرام نمایی و سپس کروی با حالت ناهمسان‌گردی است.

برای آلینده PM₁₀ کمترین مقدار MSE به ترتیب مربوط به سمی‌واریوگرام کروی در هنگامی است که حالت ناهمسان‌گرد و سپس همسان‌گرد دارد. بیشترین مقدار MSE، برای هر دو آلینده زمانی است که نوع سمی‌واریوگرام مدل دایره‌ای باشد.

جدول ۱۰. نتایج روش کوکریجینگ

MSE	حالت	نوع سمی‌واریوگرام	روش درون‌یابی	آلینده
۱/۷۶۱	همسان‌گرد			
۱/۷۳۴	ناهمسان‌گرد		دایره‌ای	
۱/۷۲۳	همسان‌گرد			کروی
۱/۷۱۴	ناهمسان‌گرد			
۱/۷۳۲	همسان‌گرد		نمایی	
۱/۷۰۱	ناهمسان‌گرد			کوکریجینگ
۱/۷۴۵	همسان‌گرد		گوسی	
۱/۷۲۹	ناهمسان‌گرد			CO

تعیین تغییرات مکانی و زمانی آلودگی‌های منواکسید کربن و ذرات معلق با استفاده از تکنیک‌های GIS در شهر تهران

شده براساس AQI طبقه‌بندی شدند. جدول ۱۱ نتایج طبقه‌بندی کیفیت هوای حاصل از این دو آلینده برای تمامی روزهای سال ۱۳۸۴ تولید گردید. سپس کلیه نقشه‌های تولید

۴-۳- طبقه‌بندی نقشه‌های کیفیت هوای

با استفاده از روش درون‌یابی بهینه، نقشه‌های کیفیت هوای حاصل از این دو آلینده برای تمامی روزهای سال ۱۳۸۴ تولید گردید. سپس کلیه نقشه‌های تولید

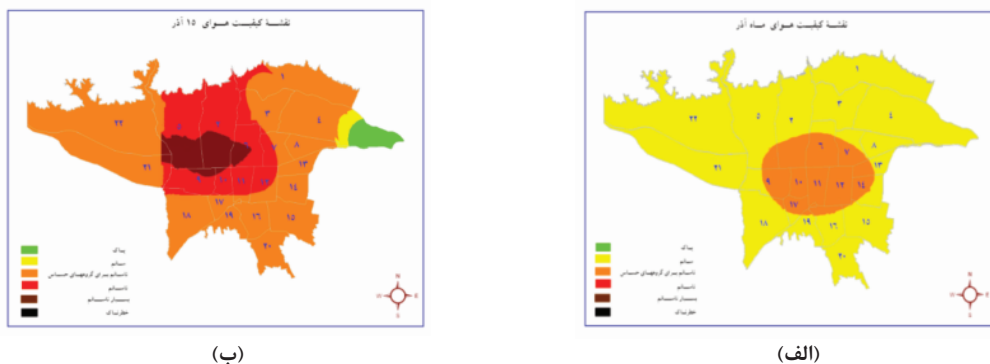
جدول ۱۱. نتایج طبقه‌بندی نقشه‌ها براساس شاخص AQI

ماه	آلاینده	پاک	سالم	ناسالم براي گروههای حساس	ناسالم	بسیار خطرناک
فروردین	مونواکسید کربن	۱۳	۱۸	۰	۰	۰
	ذرات معلق	۰	۲۹	۲	۰	۰
اردیبهشت	مونواکسید کربن	۱۶	۱۴	۱	۰	۰
	ذرات معلق	۰	۲۶	۵	۰	۰
خرداد	مونواکسید کربن	۳	۱۵	۹	۴	۰
	ذرات معلق	۰	۱۸	۱۰	۳	۰
تیر	مونواکسید کربن	۰	۱۴	۱۴	۲	۱
	ذرات معلق	۰	۱۳	۱۶	۲	۰
مرداد	مونواکسید کربن	۰	۱۴	۹	۳	۵
	ذرات معلق	۰	۱۹	۱۲	۰	۰
شهریور	مونواکسید کربن	۰	۱۲	۸	۸	۳
	ذرات معلق	۰	۱۶	۱۵	۰	۰
مهر	مونواکسید کربن	۰	۱۲	۱۵	۳	۰
	ذرات معلق	۰	۱۴	۱۶	۰	۰
آبان	مونواکسید کربن	۰	۱۲	۱۴	۱	۳
	ذرات معلق	۰	۱۸	۱۲	۰	۰
آذر	مونواکسید کربن	۰	۸	۱۰	۷	۵
	ذرات معلق	۰	۱۱	۱۹	۰	۰
دی	مونواکسید کربن	۸	۲۰	۲	۰	۰
	ذرات معلق	۰	۲۲	۸	۰	۰
بهمن	مونواکسید کربن	۱۲	۱۴	۴	۰	۰
	ذرات معلق	۰	۱۵	۱۳	۲	۰
اسفند	مونواکسید کربن	۱۲	۱۴	۳	۰	۰
	ذرات معلق	۰	۸	۱۶	۵	۰

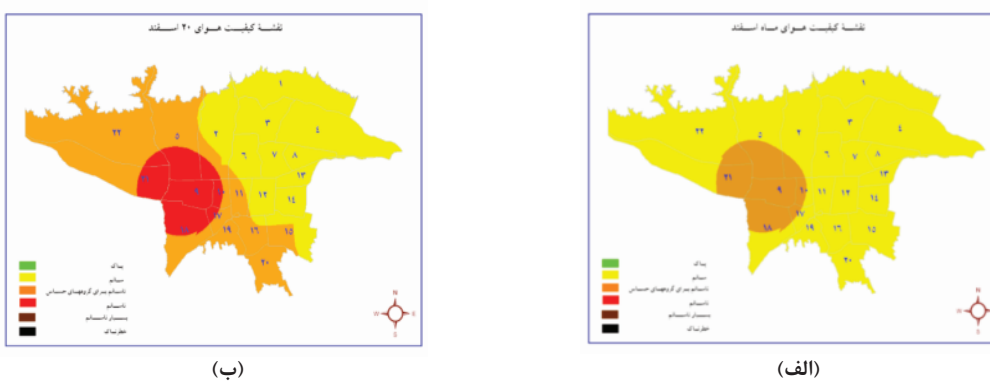
بیشترین روزهایی که کیفیت هوای حاصل از آلاینده CO و PM_{10} از حد استاندارد تجاوز کرده است، به ترتیب متعلق به ماه آذر و اسفند است.

به دلیل تعدد نقشه‌های تولیدی، در این قسمت فقط نقشه کیفیت هوای حاصل از آلاینده CO در روز ۱۵ آذر و نقشه ماهانه آذر و همچنین نقشه کیفیت هوای حاصل از آلاینده PM_{10} در روز ۲۰ اسفند و نقشه ماهانه اسفند نشان داده می‌شود.

در جدول ۱۱ اعداد نوشته شده در داخل هر واحد، طبقه‌بندی کیفیت هوای حاصل از آلاینده مربوط را براساس AQI برای آن ماه نشان می‌دهند. به طور مثال، در فروردین ماه کیفیت هوای حاصل از آلاینده مونواکسیدکربن در ۱۳ روز پاک، و در ۱۸ روز سالم بوده است. همچنین در هیچ روزی از این ماه کیفیت هوای ناشی از این آلاینده از حد استاندارد تجاوز نکرده است. با توجه به همین جداول، مشاهده می‌گردد



شکل ۱. نقشه کیفیت هوای حاصل از آلاینده CO؛ (الف) ماهانه آذر؛ ب) ۱۵ آذر



شکل ۲. نقشه کیفیت هوای حاصل از آلاینده PM_{10} ؛ (الف) ماهانه اسفند؛ ب) ۲۰ اسفند

با توجه به مقدار P_Value موجود در جدول ۱۲، هر گاه مقدار P_Value از ۰/۰۵ بزرگ‌تر باشد، آن گاه بین دو متغیر مذکور همبستگی وجود ندارد.

۴-۵- نتایج خروجی از مدل رگرسیونی
 همان‌طور که پیش‌تر نیز بیان شد، برای انجام مدل LUR ابتدا در اطراف هر یک از ایستگاه‌ها مقدار متغیرهای موجود در جدول ۱ در بافرهای مختلفی محاسبه گردید. سپس با استفاده از روش‌های رگرسیون چندگانه و روش‌های قدم به قدم، ورود رو به جلو، و حذف رو به عقب به مدل سازی این دو آلینده در فصل بهار پرداخته شد. جدول‌های ۱۳، ۱۴ و ۱۵ نتایج حاصل از انجام مدل LUR را نشان می‌دهند.

۴-۶- بررسی همبستگی بین داده‌ها

چون در تولید هر یک از آلینده‌ها عوامل مهمی همچون ترافیک، کاربری اراضی، جمعیت و مانند اینها نقش اساسی را ایفا می‌کنند، در این قسمت نتایج حاصل از بررسی همبستگی بین هر یک از آلینده‌ها با هر کدام از متغیرها در جدول ۱۲ نشان داده شده است. برای اندازه‌گیری تأثیر هر یک از این متغیرها بر روی آلودگی، از روش رگرسیون کاربری اراضی (LUR) استفاده شد. درواقع میزان هر یک از متغیرهای مؤثر در بافرهای اطراف هر یک از ایستگاه‌های سنجش آلودگی هوا که در جدول ۱ بیان گردید، اندازه‌گیری شدند. در جدول ۱۲ منظور از هر یک از انواع راه‌ها فاصله هر ایستگاه تا نزدیک‌ترین نوع هر یک از انواع راه است.

جدول ۱۲. همبستگی بین آلینده‌های منواکسید کربن و ذرات معلق با متغیرهای مؤثر بر آلودگی

P_Value	PM ₁₀	P_Value	CO	زیرگروه	گروه
۰/۰۳۵	۰/۳۶۹	۰/۰۰۹	۰/۴۵	مسکونی	
۰/۰۰۲	۰/۵۲۷	۰/۰۰۷	۰/۴۶۲	صنعتی	
۰/۰۲۴	-۰/۳۹۱	۰/۰۱۹	۰/۴۰۷	اداری - تجاری	کاربری اراضی
۰/۸۹۷	۰/۰۲۳	۰/۹۴۵	۰/۰۱۳	نظامی	
۰/۰۹۲	۰/۲۹۸	۰/۲۵۸	-۰/۲۰۳	فضای سبز	
۰/۱۶۸	۰/۲۴۶	۰/۶۷۷	۰/۰۷۵	حمل و نقل	
۰/۰۰۷	۰/۴۶۳	۰/۰۰۱	۰/۵۶۹	Traffیک	حجم ترافیک
۰/۷۷۸	۰/۰۳۷	۰/۰۴۱	-۰/۳۳۲	ارتفاع	ارتفاع
۰/۰۰۶	-۰/۴۷۲	۰/۰۰۲	۰/۵۵۵	جمعیت	جمعیت
۰/۶۹۴	-۰/۰۷۱	۰/۰۱۸	-۰/۴۱۰	بزرگراه	
۰/۴۸۵	۰/۱۲۶	۰/۰۰۱	-۰/۵۳۷	راه اصلی	راه
۰/۸۹۷	۰/۰۳۱	۰/۳۳۱	-۰/۱۷۵	راه فرعی	

علی‌اکبر متکان و همکاران

جدول ۱۳. آمار توصیفی مدل

آلاینده	R^2	Adjusted R ²	Std. Error
مونواکسید کربن	۰/۵۵	۰/۴۷	۱/۰۷
ذرات معلق	۰/۶۸۵	۰/۶۲۳	۱۲/۷۵۶

جدول ۱۴. ضرایب رگرسیونی برای آلاینده مونواکسید کربن

Sig.	t	Standardized Coefficients		Unstandardized Coefficients		پارامترهای مدل
		Beta	Std. Error	B		
۰/۰۰۰	۳/۱۳		۰/۶۷۱	۳/۶۴	عرض از مبدأ	
۰/۰۰۰	۴/۰۹	۰/۵۴۶	۰/۰۰۰	۰/۳E-۱۲/۱	حجم ترافیک	
۰/۰۲۵	۳/۹۸	۰/۲۳۷	۰/۶۲۸	۰/۵E-۲۹/۶	جمعیت	
۰/۰۱۲	-۲/۶۹	-۰/۲۶۳	۱/۵۰۳	۰/۵E-۴۴/۵-	ارتفاع	
۰/۰۲۹	-۲/۲۸	-۰/۳۷۹	۰/۲۸۴	۰/۴E-۴۲/۶-	فاصله از راه اصلی	
۰/۰۳۸	-۲/۱۸	-۰/۲۴۶	۰/۴۶۸	۰/۴E-۴۲/۳-	فاصله از بزرگراه	

جدول ۱۵. ضرایب رگرسیونی برای آلاینده ذرات معلق

Sig.	t	Standardized Coefficients		Unstandardized Coefficients		پارامترهای مدل
		Beta	Std. Error	B		
۰/۰۰۰	۱۳/۴۶		۸/۰۱	۹۵/۷۶	عرض از مبدأ	
۰/۰۰۱	۳/۸۶۱	۰/۳۹۶	۰/۰۲۶	۰/۱	حجم ترافیک	
۰/۰۰۶	-۲/۹۶	-۰/۳۸۵	۰/۰۰۲	-۰/۰۰۱	جمعیت	
۰/۰۴۵	۲/۰۹۵	۰/۵۸۲	۵/۴۰	۱۰/۹۸	صنعتی	
۰/۰۰۱	-۳/۷۲۸	-۰/۳۴۱	۱/۹۳	-۷/۲	اداری - تجاری	

۵- نتیجه‌گیری

با استفاده از نتایج به دست آمده از نقشه‌های کیفیت هوای روزانه و مدل LUR، می‌توان به موارد زیر اشاره کرد:

۱. به طور کلی در سال ۱۳۸۴ کیفیت هوای حاصل از آلاینده مونواکسید کربن در ۱۳۴ روز بالاتر از حد استاندارد بوده است. این در حالی است که کیفیت هوای حاصل از آلاینده ذرات معلق در ۱۵۶ روز بالاتر از حد استاندارد بوده است. لیکن می‌بایست توجه کرد که در ۴۵ روز از سال کیفیت هوای

رابطه‌های (۱) و (۲)، معادلات رگرسیونی به دست آمده برای دو آلاینده مونواکسید کربن و ذرات معلق در فصل بهار را نشان می‌دهند.

(رابطه ۱)

$$\begin{aligned} CO &= 3/64 + 1/12 * 10^{-3} \text{Traffic} + 6/29 * 10^{-5} \text{Population} \\ &- 5/44 * 10^{-4} \text{Elevation} - 6/42 * 10^{-4} \text{dis_majorroad} \\ &- 3/42 * 10^{-4} \text{dis_highway} \end{aligned}$$

(رابطه ۲)

$$\begin{aligned} PM_{10} &= 95/76 + 0/1 * \text{Traffic} - 0/001 * \text{Population} \\ &+ 10/98 * \text{industrial} - 7/2 * \text{Edari_Tejari} \end{aligned}$$

عامل مؤثر بر آلایینده منواکسید کربن حجم ترافیک است؛ در حالی که مهم‌ترین عامل مؤثر بر آلایینده ذرات معلق اماکن صنعتی است. تراکم راهها در مناطق ۷، ۱۲ و ۱۱ از بقیه مناطق بیشتر است و نتایج حاصل از نقشه‌های درون‌یابی نیز نشان داده‌اند که این مناطق آلوده‌ترین مناطق از نظر تجمع آلایینده منواکسید کربن به شمار می‌آیند. به علاوه، نتایج حاصل از روش‌های رگرسیونی نیز این نظریه را تأیید کرده است. در مورد آلایینده ذرات معلق نیز مهم‌ترین عامل اماکن صنعتی‌اند. با توجه به اینکه تمرکز اماکن صنعتی در مناطق ۱۸، ۲۱، ۲۱ و ۱۶ در قیاس با دیگر مناطق بیشتر است، نتایج حاصل از نقشه‌های درون‌یابی هم نشان داد که این مناطق آلوده‌ترین مناطق از نظر تجمع آلایینده ذرات معلق‌اند. به علاوه، نتایج حاصل از روش‌های رگرسیونی نیز این نظریه را تأیید کرد و مهم‌ترین عامل در ایجاد آلایینده ذرات معلق را وجود اماکن صنعتی برشمرد.

۸. هنگامی که مدل رگرسیونی انجام می‌شود، یکی از موضوعاتی که دانستن آن اهمیت دارد، این است که با استفاده از متغیرهای مستقل و مدل رگرسیونی انتخاب شده، چند درصد از تغییرات متغیر وابسته را می‌توان پیش‌بینی کرد. در جدول ۱۳ یکی از آماره‌های مهم، R^2 تعديل یافته است که مقدار این آماره برای منواکسید کربن و ذرات معلق به ترتیب ۰/۴۷ و ۰/۶۲۳ است. این بدان معناست که با استفاده از این مدل رگرسیونی می‌توان ۰/۴۷ درصد از تغییرات آلایینده منواکسید کربن و ۰/۶۲ درصد از تغییرات ذرات معلق را در منطقه مورد نظر با استفاده از این متغیرهای مستقل و مدل ارائه شده تخمین زد؛ و بقیه تغییرات این دو آلایینده به عوامل دیگری از قبیل پارامترهای هواشناسی و حوادث آنی وابسته است. با توجه به اینکه در اکثر مقالات ارائه شده با این مدل مقدار R^2 حداقل ۰/۷۰ درصد است،

- حاصل از آلایینده منواکسید کربن در وضعیت ناسالم و بسیار ناسالم است. این در حالی است که تنها ۱۲ روز از سال کیفیت هوای حاصل از آلایینده ذرات معلق در وضعیت ناسالم است.
۲. دوره‌های چندروزه آلودگی بیشتر برای آلایینده منواکسید کربن نسبت به آلایینده ذرات معلق رخداده است. با توجه به زیان‌های فراوان منواکسید کربن، در صورتی که تداوم آلودگی این آلایینده زیاد باشد، می‌تواند خطرهای جبران‌ناپذیری ایجاد کند.
 ۳. بیشترین تعداد روزهایی که کیفیت هوای حد استاندارد فراتر رفته است، متعلق به فصل پاییز و سپس تابستان است. ولی بیشترین تعداد روزهایی که کیفیت هوای حاصل از آلایینده منواکسید کربن در وضعیت ناسالم و یا بسیار ناسالم است، به فصل تابستان و سپس پاییز تعلق دارد. همچنین برای آلایینده ذرات معلق، بیشترین تعداد روزهایی که کیفیت هوای حاصل از این آلایینده در وضعیت ناسالم است، به فصل زمستان و سپس تابستان تعلق دارد.
 ۴. بیشترین ماههایی که کیفیت هوای حاصل از آلایینده منواکسید کربن از حد استاندارد تجاوز کرده، متعلق به ماه آذر و سپس شهریور است؛ و برای آلایینده ذرات معلق ماههای اسفند و تیر بیشترین تعداد روز را دارند.
 ۵. چون کاربری اراضی برای تمامی فصل‌های سال یکسان است، علت اصلی تغییرات در مقدار این دو آلایینده پارامترهای هواشناسی و عوامل جوی است.
 ۶. با توجه به نقشه‌های درون‌یابی شده برای کل سال، مشاهده گردید که بیشترین مقدار آلایینده منواکسید کربن در مناطق ۶، ۷، ۱۱ و ۱۲ رخداده است. این در حالی است که بیشترین مقدار آلایینده ذرات معلق مربوط به مناطق ۱۰، ۹، ۱۷، ۱۶ و اطراف میدان آزادی است.
 ۷. با توجه به نتایج حاصل از مدل LUR، مهم‌ترین

فضای سبز کم بوده و به همین دلیل در سطح ۰/۰۵ معنادار نشده است.

۱۱. همان‌طور که در جدول ۱۲ مشاهده شد، بعضی از متغیرها وجود دارند که با مونواکسید کربن و ذرات معلق همبستگی دارند، ولی در مدل رگرسیونی وجود ندارند. در واقع هنگام استفاده از روش‌های رگرسیونی، در متغیرهایی که با یکدیگر همپوشانی دارند، همواره متغیر غالب وارد مدل رگرسیونی می‌شود.

۱۲. در کلیه کارهایی که در گذشته انجام شده است، مدل LUR کمتر برای آلاینده CO و PM₁₀ مورد استفاده قرار گرفته است. درواقع این مدل بیشتر برای بررسی آلاینده‌هایی چون NO₂، SO₂ و SO₃ مورد استفاده قرار گرفته است. کاشیما و همکاران (۲۰۰۹) با استفاده از روش LUR به مدل‌سازی دو آلاینده NO₂ و SPM در شهر شیزوکا در ژاپن پرداختند. آنها برای این کار از پارامترهای انواع راه‌ها، حجم ترافیک، کاربری اراضی و مؤلفه‌های فیزیکی به عنوان متغیرهای مستقل استفاده کردند. هر یک از این متغیرها در حریم‌های متفاوتی اندازه‌گیری شد و مقدار R² نهایی مدل برای دو آلاینده NO₂ و SPM به ترتیب ۰/۵۴ و ۰/۱۱ به دست آمد.

ویلر و همکاران (۲۰۰۸) با استفاده از روش LUR به مدل‌سازی آلاینده NO₂، SO₂ و Benzene در شهر انتاریوی کانادا پرداختند. مقدار R² مدل برای این چهار آلاینده به ترتیب ۰/۷۷، ۰/۶۹، ۰/۷۳ و ۰/۴۶ به دست آمد.

با توجه به موارد ذکر شده، مشاهده می‌گردد که در روش LUR مقدار R² مدل برای بیشتر آلاینده‌ها بین ۰/۲ تا ۰/۸ حاصل شده است. با توجه به اینکه مقدار R² برای آلاینده CO و PM₁₀ به ترتیب ۰/۴۷ و ۰/۶۲ به دست آمد، می‌توان به مؤثر بودن این روش در بررسی تغییرات این دو آلاینده اشاره کرد.

می‌توان بیان کرد که این مدل برای تخمین آلدگی حاصل از این دو آلاینده در تهران مناسب است.

۹. زیاد بودن مقدار β مربوط به هر یک از آلاینده‌ها در جدول‌های ۱۴ و ۱۵ به معنای مهم‌تر بودن تأثیر آن متغیر مستقل بر روی آلاینده مورد نظر نیست. برای مقایسه تأثیر هر یک از متغیرهای مستقل بر روی این دو آلاینده، به جای استفاده از ضرایب رگرسیونی باید از β استانداردشده استفاده کرد. درواقع β استانداردشده مستقل از واحد اندازه‌گیری است. هر چه مقدار این آماره بیشتر باشد، نشان می‌دهد که این متغیر تأثیر بیشتری بر روی آن آلاینده دارد. جدول ۱۶ اهمیت متغیرهای مورد استفاده در مدل رگرسیونی را به ترتیب نزولی برای هر دو آلاینده نشان می‌دهد.

جدول ۱۶. رتبه‌بندی در جهت تأثیر متغیرهای مستقل

رتبه	مونواکسید کربن	ذرات معلق	رتبه
۱	حجم ترافیک	اماكن صنعتی	
۲	فاصله از راه اصلی	حجم ترافیک	
۳	ارتفاع	جمعیت	
۴	فاصله از بزرگراه	اداری - تجاری	
۵	جمعیت	*	

با توجه به جدول ۱۶ مشخص می‌شود که مهمترین عامل مؤثر بر آلاینده مونواکسید کربن حجم ترافیک است، در حالی که مهم‌ترین عامل مؤثر بر آلاینده ذرات معلق اماكن صنعتی‌اند.

۱۰. با توجه به جدول ۱۲ مشاهده می‌گردد که در برخی از کاربری‌ها مانند فضای سبز، تأثیر کاربری بر روی آلدگی در سطح ۰/۰۵ معنادار نمی‌شود. این بدان علت است که در بافرهای ۵۰۰ متری که در اطراف ایستگاه‌ها تعیین شده‌اند، میزان کاربری

۷- منابع

- Basu, R., Woodruff, T.J., Parker, J.D., Saulnier, L., Schoendorf, K.C., 2004, **Comparing Exposure Metrics in the Relationship Between PM_{2.5} and Birth Weight in California**, Journal of Exposure Analysis and Environmental Epidemiology, 14, 391–396.
- Brauer, M., Hoek, G., Smit, J., Jongste, J.C., Postma, D.S., Gerritsen, J., Kerkhof, M., Brunekreef, B., 2007, **Air Pollution and the Development of Asthma, Allergy and Respiratory Infections in a Birth Cohort**, European Respiratory Journal, 29, 879–888.
- Cyrys, J., Hochadel, M., Gehring, U., Hoek, G., Diegmann, V., Brunekreef, B., Heinrich, J., 2005, **GIS-based Estimation of Exposure to Particulate Matter and NO₂ in an Urban area: Stochastic Versus Dispersion Modeling**, Environmental Health Perspectives, 113, 987–992.
- Henderson, S.B., Beckerman, B., Jerrett, M., Brauer, M., 2007, **Application of Land Use Regression to Estimate Long-term Concentrations of Traffic-related Nitrogen Oxides and Fine Particulate Matter**, Environmental Science and Technology, 41, 2422–2428.
- Jerrett, M., Arain, A., Kanaroglou, P., Beckerman, B., Potoglou, D., Sahsuvaroglu, T., Morrison, J., Giovis ,C., 2005, **A Review and Evaluation of Intraurban Air**

۶- پیشنهادها

روش کوکریجینگ نشان داده است که می‌تواند با سه پارامتر کمکی دما و جهت باد و سرعت باد، به عنوان روشی مناسب برای درون‌بایی آلینده منواکسید کربن مورد استفاده قرار گیرد. بدین ترتیب برای کسب نتایج بهتر، پیشنهاد می‌شود تا از متغیرهایی مانند وارونگی دما، فشار، رطوبت و سایر پارامترهای هواشناسی به عنوان پارامتر کمکی استفاده شود.

با توجه به اینکه باد غالب در تهران از سمت غرب به شرق می‌وزد و اکثر صنایع در قسمت غرب تهران قرار گرفته‌اند، به نظر می‌رسد که در مکان‌گزینی مراکز صنعتی عمده در شهر تهران، کارشناسی لازم صورت نگرفته است. بدین ترتیب، می‌توان با استفاده از سامانه اطلاعات مکانی، محل‌های مناسبی را برای تأسیس امکان صنعتی در حال احداث تعیین کرد.

- Pollution Exposure Models**, *Journal of Exposure Analysis and Environmental*, 15, 185-204.
- Kashima, S., Yorifuji, T., Tsuda, T., Doi, T., 2009, **Application of Landuse Regression to Regulatory Air Quality Data in Japan**, *Science of The Total Environment*, 36, 137-146.
- Knowlton, K., Rosenthal, J.E., Hogrefe, C., Lynn, B., Gaffin, S., Goldberg, R., Rosenzweig, C., Civerolo, K., Ku, J.Y., Kinney, P.L., 2004, **Assessing Ozone-related Health Impacts Under a Changing Climate**, *Environmental Health Perspectives*, 112, 1557–1563.
- Miller, K.A., Siscovick, D.S., Sheppard, L., Shepherd, K., Sullivan, J.H., Anderson, G.L., Kaufman, J.D., 2007, **Longterm Exposure to Air Pollution and Incidence of Cardiovascular Events in Women**, *New England Journal of Medicine*, 356, 447–458.
- Moore, D.K., Jerrett, M., Mack, W.J., Kunzli, N., 2007, **A Land use Regression Model for Predicting Ambient Fine Particulate Matter Across Los Angeles, CA**, *Journal of Environmental Monitoring*, 9, 246–252.
- Wheeler, A.J., Smith-Doiron, M.X., Gilbert, N.L., Brook, J.R., 2008, **Intra-Urban Variability of Air Pollution in Windsor, Ontario—Measurement and Modeling for Human Exposure Assessment**, *Environment Resource*, 106, 7–16.